DESIGN AND CONTROL OF HIGH POWER GRID INTERFACED SOLAR PV SYSTEM WITH BES

SUBIR KARMAKAR

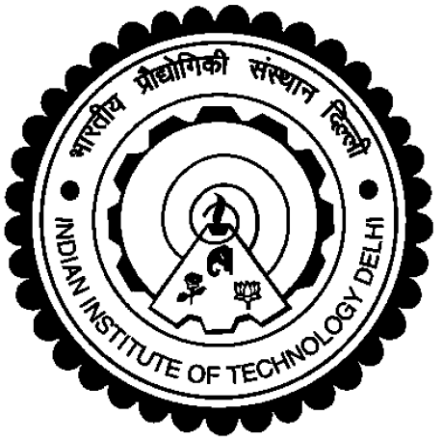

DEPARTMENT OF ELECTRICAL ENGINEERING
INDIAN INSTITUTE OF TECHNOLOGY DELHI
HAUZ KHAS, NEW DELHI-110016, INDIA
DECEMBER 2022

DESIGN AND CONTROL OF HIGH POWER GRID INTERFACED SOLAR PV SYSTEM WITH BES

by

SUBIR KARMAKAR
Electrical Engineering Department

Submitted
in fulfillment of the requirements of the degree of Doctor of Philosophy

to the

INDIAN INSTITUTE OF TECHNOLOGY DELHI
DECEMBER 2022

CERTIFICATE

It is certified that the thesis entitled "**Design and Control of High Power Grid Interfaced Solar PV System With BES**," being submitted by **Mr. Subir Karmakar** for award of the degree of **Doctor of Philosophy** in the Department of Electrical Engineering, Indian Institute of Technology Delhi, is a record of the student work carried out by him under my supervision and guidance. The matter embodied in this thesis has not been submitted for award of any other degree or diploma.

Dated: December 26, 2022

(Prof. Bhim Singh)
Electrical Engineering Department
Indian Institute of Technology Delhi
Hauz Khas, New Delhi-110016, India

ACKNOWLEDGEMENTS

I wish to express my deepest gratitude and indebtedness to **Prof. Bhim Singh** for providing me guidance and constant supervision to carry out the Ph.D. work. Working under him has been a wonderful experience, which has provided a deep insight to the world of research. Determination, dedication, innovativeness, resourcefulness and discipline of **Prof. Bhim Singh** have been the inspiration for me to complete this work. His consistent encouragement, continuous monitoring and commitments to excellence have always motivated me to improve my work and use the best of my capabilities. Due to his blessing, I have earned various experiences, other than research, which will help me throughout my life.

My sincere thanks and deep gratitude are to **Prof. Sukumar Mishra, Prof. G. Bhuvaneswari, and Prof. Ashu Verma**, all SRC members for their valuable guidance and consistent support during my research work.

I wish to convey my sincere thanks to **Prof. Bhim Singh, Prof. M. L. Kothari, Prof. T. S. Bhatti, late Prof. K. R. Rajagopal, Prof. Sukumar Mishra, and Prof. G. Bhuvaneswari** for their valuable inputs during my course work, which made the foundation for my research work. I am grateful to IIT Delhi for providing me the research facilities. I would wish to express my sincere gratitude to **Prof. Bhim Singh, Prof. G. Bhuvaneswari, late Prof. K. R. Rajagopal, and Prof. M. Veerachary** as Prof. in-charge of PG Machine Lab, for providing me immense facilities to carry out experimental work. Thanks are due to Mr. Srichand, Mr. Puran Singh, and Mr. Jitendra and Mr. Anurag, of PG Machines Lab., IIT Delhi for providing me the facilities and assistance during this work.

I would like to thank all my seniors, Dr. Shailendra Sharma, Dr. Ashish Shrivastava, Dr. Sandeep V., Dr. Ram Niwas, Dr S.K. Tiwari, to motivate me in the starting of my research work.

I would like to use this opportunity to thank Dr. N. K. Swami Naidu, Dr. Nidhi Mishra, Mr. Anshul Varshney, Mr. Shivam Kumar Yadav, Dr. Sabharaj Arya, Dr. M. Sandeep, Dr. Vashist Bist, Dr. Ikhlaq Hussain, Dr. Anjanee Kumar Mishra, and Mr. Aryadip Sen who have constantly helped me on all technical and non technical issues. I also wish to take this opportunity to thank Mr. Utkarsh Sharma, Ms. Rashmi Rai, Mrs. Yashi Singh, Mr. Vineet P Chandra, Mr. Priyank Shah, Mr. Dipu Vijaya M, Mrs. Shataskshi Sharma, Mrs. Aakanksha Rajput, Mr. Vivek Narayanan, Mr. Debasish Mishra, Mr. Anjeet Verma, Mr. Gurmeet Singh, Mr. Sreejith R, Dr. Radha Kushwaha, Mrs. Vandana Jain, Ms. Seema Kewat, Mrs. Subhra, Mrs. Farheen Chishti, Mrs. Pavitra Shukl, Ms. Sunaina Singh, Mr. Sai Pranith Girimaji, Mr. Tripurari Nath, Mr. Gaurav Modi, Mr. Bilal Naqvi, Mr. K.P. Tomar, Mr. Sunil Pandey, Ms. Shalvi Tyagi, Mrs. Rohini Sharma, Ms. Chandrakala, Ms. Kousalya, Mr. Kashif, Mr. Sharan Shastri, Ms. Hina Parveen, Mr. Yalavarthi Amarnath, Mr. VL Srinivas, Mr. Priyabrat Vats, Mr. Suri Paneeth, Mr. Jiitendra Gupta, Mr. Rahul Kumar, Mr. Sayandev Ghosh, Mr. Utsav Sharma, Mr. Saran Chourasiya, Mr. Shivam Yadav, Mr. Deepak shaw, Mr. Sambasivaiah, Mr. Sudip Bhattacharya, Mr. Sandeep Sahoo, Mr. Souvik Das, Ms. Kripa, Ms. Farha Siddique, Mr. Zarkab, Mr. Saurabh, Mr. Vipin, Mr. Rohit, Mr. Arjun, Mr. Biswajit, Mr. Sumit, Mr. Himanshu, Mr. Girja Shankar and all PG Machines lab group for their valuable support. I would also like to thank Mr. Satish, Mr. Yatindra, Mr. Narendra, Mr. Sandeep, Ms. Moni and all other electrical engineering office staff for being supportive throughout. I am likewise thankful to those who have directly or indirectly helped me to finish my dissertation study.

I would like to thank my Mother, Mrs. Usharani Karmakar, Father, Mr. Hemanta Karmakar, Brother, Uttam Karmakar for their dreams, blessings, and constant encouragement. I would like to thank my Wife, Mrs. Sanchita Mitra and my Son Mr. Adrik Karmakar for giving me the inner strength and wholehearted support. I would like to thank my younger sisters, Mrs. Sima

Karmakar and Mrs Aparna Karmakar, and all my family members for their continuous support and encouragement. Their trust in my capabilities had been a key factor to all my achievements.

At last, I am beholden to almighty for their blessings to help me to raise my academic level to this stage. I pray for their benediction in my future endeavours. Their blessings may be showered on me for strength, wisdom and determination to achieve in future.

Dated: December 26, 2022

Subir Karmakar

ABSTRACT

In this thesis work, high-power grid interfaced solar PV plants and battery energy storage (BES) systems utilizing fundamental frequency switching (FFS) modulated different multipulse and multilevel voltage source converters (VSCs) topologies are investigated in detail. Investigations are made on 52MWp grid interfaced solar PV plant based on multipulse VSCs utilizing FFS modulated two-level converters with different switching phase displacement angles and star-delta medium voltage (MV) transformers. The transformers primary sides (HV side) are series connected to electro-magnetically add the converters generate voltage for direct integration to the 33kV grid. The investigations are also made on a 100MWp grid interfaced solar PV plant based on 48-pulse VSCs utilizing star-delta MV transformer and FFS modulated three-level neutral point clamp converters (NPCs). Two different MV transformer configurations are used, one with delta-star and another with delta-delta transformer configurations. The transformer secondary delta open windings are separated phase-by-phase, and the primary star and delta windings are series-connected. In this multipulse VSC configuration, the harmonics mitigation is achieved by operating the NPCs with different switching phase displacement angles and fixed voltage dead-angle. The VSC dead-angle is optimally selected, and VSC works as equivalent to a 96-pulse VSC for harmonics mitigation. The VSC output voltage amplitude control is realized with two sets of NPCs operated with leading and lagging voltage angles to provide lagging, leading, and unity power factor operation. Grid interfaced 40MWp solar PV plant configured with FFS modulated three-level-NPC and different phase-shifted 12-pulse transformers is investigated in detail. In this, the FFS modulated NPCs generated lower order current harmonics and are mitigated by utilizing different phase-shifting transformer windings located at different pooling

locations inside the solar plant. The plant generates low current harmonics similar to a 48-pulse converter at the 33kV grid connection.

Investigations are made on grid interfaced solar PV plant of capacity 240MWp with DC coupled BES of 120MW/720MWh configured with high-power 72-pulse VSC. The 72-pulse VSC is configured with NPCs with suitably selected switching angles and MV transformer with different phase-shifted zigzag secondary windings and series-connected star primary winding. The NPCs are divided into two groups, Group-A NPCs are connected with the line side of zigzag windings, and Group-B NPCs are connected with the neutral side of the zigzag windings. The NPCs dead angle (β) is controlled to control the VSC output voltage amplitude. The multi-MPPT technique is applied to this single-stage VSC for optimal solar power generation. In the large solar PV plant area, the BES is deployed along with the solar PV array and locally stores the excess solar PV energy and dispatches the stored energy during nighttime when the solar PV array is not generating. A 225MWp solar PV plant based on 54-pulse VSCs is also investigated. The 54-pulse VSC is developed with identical three sets of 18-pulse VSCs, each configured with two-level converters (TLCs) and a step-up transformer with series-connected star and different phase-shifted zigzag primary windings, and delta-connected secondary windings. The 54-pulse VSC operation is realized with suitably selected TLCs switching phase displacement angles and 18-pulse VSC transformer configuration. A 112.5MW/450MWh BES is DC coupled at the VSCs DC terminals for storing surplus solar energy and supply to the grid during non-solar hours. Investigations are also made on grid interfaced 480MWp solar PV plant based on 96-pulse modular VSC. Four sets of modular 24-pulse VSC having identical power circuit configurations are utilized to develop the 96-pulse VSC. Each 24-pulse VSC is configured with three-level converters and transformers with delta open LV-windings and series connected different phase-shifted zigzag HV-windings. The

solar PV plant is integrated to the 66kV grid. The 96-pulse VSC lower order harmonic elimination is realized with the multipulse transformer (MPT) configuration, and higher order harmonics are eliminated with the suitably selected converters switching angles based on selective harmonics elimination (SHE) techniques. The MPPT DC-DC boost converter is used with each PV string for optimum solar generation. A battery energy storage system (BES) is connected in the field with the PV sub-array to provide the grid Round-the-Clock Power (RTC) supply.

Investigations are made on high-power grid interfaced solar PV plants based on multilevel converters (MLCs). Fundamental frequency switching selective harmonic elimination (SHE) modulated eleven-level cascaded H-bridge (CHB) VSC is utilized in MLC applications. The eleven-level CHB VSC configuration and control algorithms with the capacitor voltage balancing method are presented in detail. Investigations are also made on BES based on 13-level CHB VSC utilized to mitigate 20MW solar PV plant power fluctuation and energy time shifting/peak shifting applications. A hybrid smoothing method is presented, suitable for sunny and cloudy weather conditions and optimizing the battery energy uses and sizing. The battery state of charge (SOC) control and VSC area equalization modulation strategy (AEMS) is presented in detail.

The design, modelling, control, and real-time implementation of the various plant configurations of high power grid interface solar PV, and BES systems as discussed above have been carried out, and their steady-state, harmonic, and dynamic performances, STATCOM operation, are evaluated under varying solar irradiance levels and change in grid voltages.

सारांश

इस थीसिस कार्य में, हाई-पावर ग्रिड इंटरफेस्ड सोलर पीवी प्लांट्स और बैटरी एनर्जी स्टोरेज (बीईएस) सिस्टम, जो मौलिक फ्रीक्वेंसी स्विचिंग (एफएफएस) मॉड्युलेटेड विभिन्न मल्टीपल्स और मल्टीलेवल वोल्टेज सोर्स कन्वर्टर्स (वीएससी) टोपोलॉजी का उपयोग करते हैं, की विस्तार से जांच की जाती है। विभिन्न स्विचिंग चरण विस्थापन कोणों और स्टार-डेल्टा मध्यम वोल्टेज (एमवी) ट्रांसफार्मर के साथ एफएफएस मॉड्यूलेटेड दो-स्तरीय कन्वर्टर्स का उपयोग करते हुए मल्टीपल्स वीएससी पर आधारित 52MWp ग्रिड इंटरफेस्ड सोलर पीवी प्लांट पर जांच की जाती है। ट्रांसफॉर्मर प्राथमिक पक्ष (एचवी पक्ष) विद्युत-चुंबकीय रूप से जुड़े श्रृंखला हैं जो कन्वर्टर्स को 33kV ग्रिड के प्रत्यक्ष एकीकरण के लिए वोल्टेज उत्पन्न करते हैं। स्टार-डेल्टा एमवी ट्रांसफॉर्मर और एफएफएस मॉड्यूलेटेड थ्री-लेवल न्यूट्रल पॉइंट क्लैम्प कन्वर्टर्स (एनपीसी) का उपयोग करने वाले 48-पल्स वीएससी पर आधारित 100MWp ग्रिड इंटरफेस्ड सोलर पीवी प्लांट पर भी जांच की जाती है। दो अलग-अलग एमवी ट्रांसफॉर्मर कॉन्फ़िगरेशन का उपयोग किया जाता है, एक डेल्टा-स्टार के साथ और दूसरा डेल्टा-डेल्टा ट्रांसफॉर्मर कॉन्फ़िगरेशन के साथ। ट्रांसफॉर्मर सेकेंडरी डेल्टा ओपन वाइंडिंग्स को चरण-दर-चरण अलग किया जाता है, और प्राथमिक स्टार और डेल्टा वाइंडिंग्स श्रृंखला से जुड़े होते हैं। इस मल्टीपल्स वीएससी कॉन्फ़िगरेशन में, एनपीसी को विभिन्न स्विचिंग चरण विस्थापन कोणों और फिक्स्ड वोल्टेज डेड-एंगल के साथ संचालित करके हार्मोनिक्स शमन प्राप्त किया जाता है। वीएससी डेड-एंगल इष्टतम रूप से चुना गया है, और वीएससी हार्मोनिक्स शमन के लिए 96-पल्स वीएससी के बराबर काम करता है। वीएससी आउटपुट वोल्टेज आयाम नियंत्रण को लैगिंग, लीडिंग और यूनिटी पावर फैक्टर ऑपरेशन प्रदान करने के लिए अग्रणी और लैगिंग वोल्टेज कोणों के साथ संचालित एनपीसी के दो सेटों के साथ महसूस किया जाता है। एफएफएस मॉड्यूलेटेड थ्री-लेवल-एनपीसी और अलग-अलग फेज-शिफ्ट किए गए 12-पल्स ट्रांसफॉर्मर के साथ कॉन्फ़िगर किए गए ग्रिड इंटरफेस्ड 40MWp सोलर पीवी प्लांट की विस्तार से जांच की

गई है। इसमें, एफएफएस मॉड्यूलेटेड एनपीसी ने लोअर ऑर्डर करंट हार्मोनिक्स उत्पन्न किया और सोलर प्लांट के अंदर विभिन्न पूलिंग स्थानों पर स्थित विभिन्न फेज-शिफ्टिंग ट्रांसफॉर्मर वाइंडिंग का उपयोग करके इसे कम किया गया। संयंत्र $33kV$ ग्रिड कनेक्शन पर 48-पल्स कनवर्टर के समान कम वर्तमान हार्मोनिक्स उत्पन्न करता है।

उच्च शक्ति 72-पल्स वीएससी के साथ कॉन्फ़िगर किए गए 120MW/720MWh के डीसी युग्मित बीईएस के साथ 240MWp क्षमता के ग्रिड इंटरफ़ेस वाले सौर पीवी संयंत्र पर जांच की जाती है। 72-पल्स वीएससी को एनपीसी के साथ उपयुक्त रूप से चयनित स्विचिंग एंगल्स और एमवी ट्रांसफॉर्मर के साथ अलग-अलग फेज-शिफ्ट किए गए ज़िगज़ैग सेकेंडरी वाइंडिंग और सीरीज़-कनेक्टेड स्टार प्राइमरी वाइंडिंग के साथ कॉन्फ़िगर किया गया है। एनपीसी को दो समूहों में बांटा गया है, ग्रुप-ए एनपीसी ज़िगज़ैग वाइंडिंग के लाइन साइड से जुड़े हैं, और ग्रुप-बी एनपीसी ज़िगज़ैग वाइंडिंग के तटस्थ पक्ष से जुड़े हैं। वीएससी आउटपुट वोल्टेज आयाम को नियंत्रित करने के लिए एनपीसी डेड एंगल (β) को नियंत्रित किया जाता है। इष्टतम सौर ऊर्जा उत्पादन के लिए मल्टी-एमपीपीटी तकनीक इस सिंगल-स्टेज वीएससी पर लागू होती है। बड़े सौर पीवी संयंत्र क्षेत्र में, बीईएस सौर पीवी सरणी के साथ तैनात किया जाता है और अतिरिक्त सौर पीवी ऊर्जा को स्थानीय रूप से संग्रहीत करता है और सौर पीवी सरणी उत्पन्न नहीं होने पर रात के समय संग्रहीत ऊर्जा को भेजता है। 54-पल्स वीएससी पर आधारित 225MWp सोलर पीवी प्लांट की भी जांच की जा रही है। 54-पल्स वीएससी को 18-पल्स वीएससी के समान तीन सेटों के साथ विकसित किया गया है, प्रत्येक को दो-स्तरीय कन्वर्टर्स (टीएलसी) के साथ कॉन्फ़िगर किया गया है और श्रृंखला से जुड़े स्टार और विभिन्न चरण-स्थानांतरित ज़िगज़ैग प्राथमिक वाइंडिंग्स और डेल्टा- के साथ एक स्टेप-अप ट्रांसफार्मर है। कनेक्टेड सेकेंडरी वाइंडिंग। 54-पल्स वीएससी ऑपरेशन उपयुक्त रूप से चयनित टीएलसी स्विचिंग चरण विस्थापन कोण और 18-पल्स वीएससी ट्रांसफॉर्मर कॉन्फ़िगरेशन के साथ महसूस किया जाता है। 112.5MW/450MWh बीईएस, वीएससी

डीसी टर्मिनलों पर अधिशेष सौर ऊर्जा के भंडारण और गैर-सौर घंटों के दौरान ग्रिड को आपूर्ति करने के लिए डीसी युग्मित है। 96-पल्स मॉड्यूलर VSC पर आधारित ग्रिड इंटरफेस्ड 480MWp सोलर पीवी प्लांट पर भी जांच की जाती है। 96-पल्स वीएससी को विकसित करने के लिए समान पावर सर्किट कॉन्फ़िगरेशन वाले मॉड्यूलर 24-पल्स वीएससी के चार सेट का उपयोग किया जाता है। प्रत्येक 24-पल्स वीएससी को तीन-स्तरीय कन्वर्टर्स और ट्रांसफार्मर के साथ डेल्टा ओपन एलवी-वाइंडिंग्स और श्रृंखला से जुड़े विभिन्न चरण-स्थानांतरित ज़िगज़ैग एचवी-वाइंडिंग के साथ कॉन्फ़िगर किया गया है। सौर पीवी संयंत्र 66 केवी ग्रिड से एकीकृत है। 96-पल्स वीएससी लोअर ऑर्डर हार्मोनिक एलिमिनेशन मल्टीपल्स ट्रांसफॉर्मर (एमपीटी) कॉन्फ़िगरेशन के साथ महसूस किया जाता है, और चयनात्मक हार्मोनिक्स एलिमिनेशन (एसएचई) तकनीकों के आधार पर उपयुक्त रूप से चयनित कन्वर्टर्स स्विचिंग एंगल्स के साथ उच्च ऑर्डर हार्मोनिक्स को समाप्त कर दिया जाता है। इष्टतम सौर उत्पादन के लिए प्रत्येक पीवी स्ट्रिंग के साथ एमपीपीटी डीसी-डीसी बूस्ट कनवर्टर का उपयोग किया जाता है। ग्रिड राउंड-द-क्लॉक पावर (आरटीसी) आपूर्ति प्रदान करने के लिए एक बैटरी ऊर्जा भंडारण प्रणाली (बीईएस) पीवी उप-सरणी के साथ क्षेत्र में जुड़ी हुई है।

मल्टीलेवल कन्वर्टर्स पर आधारित हाई-पावर ग्रिड इंटरफेस्ड सोलर पीवी प्लांट्स पर जांच की जाती है। फंडामेंटल फ्रीक्वेंसी स्विचिंग सेलेक्टिव हार्मोनिक एलिमिनेशन (एसएचई) मॉड्यूलेटेड ग्यारह-लेवल कैस्केडेड एच-ब्रिज (सीएचबी) वीएससी का उपयोग एमएलसी अनुप्रयोगों में किया जाता है। कैपेसिटर वोल्टेज संतुलन विधि के साथ ग्यारह-स्तरीय सीएचबी वीएससी कॉन्फ़िगरेशन और नियंत्रण एल्गोरिदम को विस्तार से प्रस्तुत किया गया है। 20MW सौर पीवी संयंत्र बिजली में उतार-चढ़ाव और ऊर्जा समय परिवर्तन/पीक स्थानांतरण अनुप्रयोगों को कम करने के लिए उपयोग किए गए 13-स्तर सीएचबी वीएससी के आधार पर बीईएस पर भी जांच की जाती है। एक हाइब्रिड स्मूथिंग विधि प्रस्तुत की गई है, जो धूप और बादल वाले मौसम की स्थिति के लिए उपयुक्त है और बैटरी ऊर्जा के उपयोग और आकार को अनुकूलित करती है।

बैटरी स्टेट ऑफ चार्ज कंट्रोल और वीएससी एरिया इक्लाइजेशन मॉड्यूलेशन स्ट्रैटेजी (एईएमएस) को विस्तार से प्रस्तुत किया गया है।

हाई पावर ग्रिड इंटरफेस सोलर पीवी, और बीईएस सिस्टम के विभिन्न संयंत्र विन्यासों के डिजाइन, मॉडलिंग, नियंत्रण और वास्तविक समय कार्यान्वयन, जैसा कि ऊपर चर्चा की गई है, और उनके स्थिर-अवस्था, हार्मोनिक और गतिशील प्रदर्शन, स्टेटकॉम ऑपरेशन , अलग-अलग सौर विकिरण स्तरों और ग्रिड वोल्टेज में परिवर्तन के तहत मूल्यांकन किया जाता है।

TABLE OF CONTENTS

LIST OF FIGURES

LIST OF TABLES

LIST OF ABBREVIATIONS

AC	Alternating Current
AEMS	Area Equalizations Modulation Strategy
BES	Battery Energy Storage
BOS	Balance Of System
CHB	Cascaded H-Bridge
DC	Direct Current
DPC	Direct Power Control
DQ	Decoupled
FACTS	Flexible Alternating Current Transmission Systems
FFS	Fundamental Frequency Switching
HVDC	High Voltage DC
IGBTs	Insulated Gate Bipolar Transistors
ILST	Improved Linear Sinusoidal Tracer
INC	Incremental Conductance
IPT	Instantaneous Reactive Power Theory
LCC	Life Cycle Cost
LIBS	Lithium-ion battery systems
LPF	Low Pass Filter
LV	Low Voltage
MLC	Multi-Level Converter
MPP	Maximum Power Point
MPPT	Maximum Power Point Tracking
MPT	Multipulse Transformer
MV	Medium Voltage
MWT	Multi-Windings Transformer
NPC	Neutral Point Clamp
PCC	Point of Common Coupling
PCU	Power Conditioning Unit
PCS	Power Conditioning System
P&O	Perturb and Observe
PST	Phase-Shifting Transformers
PI	Proportional Integral
PLL	Phase Locked Loop

PV	Photo Voltaic
PWM	Pulse Width Modulation
RE	Renewable Energy
RR	Ramp Rate
RT	Real Time
SCB	String Combiner Box
SHE	Selective Harmonic Elimination
SMA	Simple Moving Average
SOC	State Of Charge
SPWM	Sinusoidal Pulse Width Modulation
STATCOM	Static Compensator
SVM	Space-Vector Modulation
THD	Total Harmonic Distortion
VSC	Voltage Source Converter

LIST OF SYMBOLS

v_{ab}, v_{bc}, v_{ca}	Line voltages
v_a, v_b, v_c	Phase voltages
i_a, i_b, i_c	Line current
v_r, v_y, v_b	Phase voltages
i_r, i_y, i_b	Line current
v_d, v_q	Voltage direct and quadrature axis component
i_d, i_q	Current direct and quadrature axis component
v_α, v_β	αβ-axis voltage component
i_α, i_β	αβ-axis current component
V_m	Volatge magnitude
V_{LL}	Line voltage
V_{min}	Minimum voltage
V_{max}	Maximum voltage
Q_{min}	Minimum reactive power
Q_{max}	Maximum reactive power
δ	Load angle
σ	Conduction angle
β	Dead angle
V_f	Fundamental line voltage amplitude
m	Transformer turn-ratio
m_1	Transformer turn-ratio
m_2	Transformer turn-ratio
N_{series}	Number of PV modules connected in series
$N_{parallel}$	Number of PV string connected in parallel
N_s	Number of PV modules connected in series
N_p	Number of PV string connected in parallel
V_{oc}	PV module open circuit voltage
V_{mp}	PV module voltage at maximum power point
W_p	PV module power
V_{dc}	VSC DC link voltage
M	Modulation index
V_{mp}	Voltage of one module at maximum power point

I_{mp}	Current of one module at maximum power point
P_{dc}	DC power
P_{pv}	PV array power
V_{pv}	PV array voltage
I_{pv}	PV array current
L_B	Inductor inductance
ΔI_{in}	Current ripple
f_{sw}	Switching frequency of VSC
V_{dcref}	Reference DC bus voltage
C_{dc}	DC link capacitor voltage
K_{pd} and K_{id}	Proportional and integral constant of DC link voltage controller
P, Q	Active and reactive power
A_r	Reference signal aplitude
A_c	Carrier signal aplitude
P_{bm}	Battery module power rating
E_{bm}	Battery module energy rating
N_{sb}	Number of battery module connected in series
N_{pb}	Number of battery module connected in series
D	Duty ratio